

# 065 redshift deflection De

12. Januar 2026

T0-Theorie: Rotverschiebungsmechanismus

## Abstract

Das T0-Modell erklärt die kosmologische Rotverschiebung durch  $\xi$ -Feld-Energieverlust während der Photonenausbreitung, ohne räumliche Expansion oder Entfernungsmessungen zu benötigen. Dieser Mechanismus sagt eine wellenlängenabhängige Rotverschiebung  $z \propto \lambda$  vorher, die mit spektroskopischen Beobachtungen kosmischer Objekte getestet werden kann. Unter Verwendung der universellen Konstante und gemessener Massen astronomischer Objekte liefert die Theorie modellunabhängige Tests, die von der Standardkosmologie unterscheidbar sind. Das  $\xi$ -Feld erklärt auch die kosmische Mikrowellen-Hintergrundtemperatur ( $T_{\text{CMB}} = 2,7255$  K) in einem statischen, ewig existierenden Universum, wie in [?] detailliert beschrieben.

## 1 Fundamentaler $\xi$ -Feld-Energieverlust

### 1.1 Grundmechanismus

[ $\xi$ -Feld-Photonen-Wechselwirkung] Photonen verlieren Energie durch Wechselwirkung mit dem universellen  $\xi$ -Feld während der Ausbreitung:

$$\frac{dE}{dx} = -\xi \cdot f\left(\frac{E}{\xi}\right) \cdot E \quad (1)$$

wobei die universelle geometrische Konstante ist und  $= \frac{1}{\xi} = 7500$  (natürliche Einheiten).

Die Kopplungsfunktion  $f(E/\xi)$  ist dimensionslos und beschreibt die energieabhängige Wechselwirkungsstärke. Für den linearen Kopplungsfall:

$$f\left(\frac{E}{\xi}\right) = \frac{E}{\xi} \quad (2)$$

Dies ergibt die vereinfachte Energieverlustgleichung:

$$\frac{dE}{dx} = -\frac{\xi E^2}{\xi} \quad (3)$$

### 1.2 Energie-zu-Wellenlänge-Umwandlung

Da  $E = \frac{hc}{\lambda}$  (oder  $E = \frac{1}{\lambda}$  in natürlichen Einheiten,  $\hbar = c = 1$ ), können wir den Energieverlust in Bezug auf die Wellenlänge ausdrücken. Einsetzen von  $E = \frac{1}{\lambda}$ :

$$\frac{d(1/\lambda)}{dx} = -\xi \cdot \frac{1}{\lambda^2} \quad (4)$$

Umstellung zur Wellenlängenentwicklung:

$$\frac{d\lambda}{dx} = \frac{\xi \lambda^2}{1} \quad (5)$$

## 2 Rotverschiebungsformel-Ableitung

### 2.1 Integration für kleine $\xi$ -Effekte

Für die Wellenlängenentwicklungsleichung:

$$\frac{d\lambda}{dx} = \frac{\xi\lambda^2}{dx} \quad (6)$$

Trennung der Variablen und Integration:

$$\int^\lambda \frac{d\lambda'}{\lambda'^2} = \frac{\xi}{\lambda} \int_0^x dx' \quad (7)$$

Dies ergibt:

$$\frac{1}{\lambda} - \frac{1}{\lambda_0} = \frac{\xi x}{\lambda} \quad (8)$$

Lösung für die beobachtete Wellenlänge:

$$\lambda = \frac{1}{1 - \frac{\xi x}{\lambda}} \quad (9)$$

### 2.2 Rotverschiebungsdefinition und Formel

Rotverschiebungsdefinition:

$$z = \frac{\lambda_{\text{beobachtet}} - \lambda_{\text{emittiert}}}{\lambda_{\text{emittiert}}} = \frac{\lambda}{\lambda_0} - 1 \quad (10)$$

Für kleine  $\xi$ -Effekte, wo  $\frac{\xi x}{\lambda} \ll 1$ , können wir entwickeln:

$$z \approx \frac{\xi x}{\lambda_0} = \frac{\xi x}{\lambda} \cdot \frac{\lambda}{\lambda_0} \quad (\text{in konventionellen Einheiten}) \quad (11)$$

**Schlüssel-T0-Vorhersage: Wellenlängenabhängige Rotverschiebung**

$$z() = \frac{\xi x}{\lambda} \cdot \frac{\lambda}{\lambda_0} \quad (\text{natürliche Einheiten, } \hbar = c = 1) \quad (12)$$

Diese Wellenlängenabhängigkeit ist das ENTSCHEIDENDE UNTERScheidungsmerkmal zur Standardkosmologie:

- Standardkosmologie:  $z$  ist gleich für ALLE Wellenlängen derselben Quelle
- T0-Theorie:  $z$  variiert mit der Wellenlänge - testbare Vorhersage!

In konventionellen Einheiten wird mit  $\hbar c \approx 197,3 \text{ MeV}\cdot\text{fm}$  skaliert, sodass  $\approx 1,5 \text{ GeV}/(\hbar c) \approx 7500 \text{ m}^{-1}$  entspricht, was dimensionale Konsistenz gewährleistet.

### 2.3 Konsistenz mit beobachteten Rotverschiebungen

Aktuelle Beobachtungen bestätigen oder widerlegen die Wellenlängenabhängigkeit aufgrund von Messbegrenzungen an der Nachweisschwelle weder. Die wellenlängenabhängige Rotverschiebung, gegeben durch  $z \propto \frac{\xi x}{\lambda}$ , erklärt beobachtete kosmologische Rotverschiebungen in Kombination mit ergänzenden Effekten wie Doppler-Verschiebungen, Gravitationsrotverschiebung und nichtlinearen  $\xi$ -Feld-Wechselwirkungen. Für Objekte mit hoher Rotverschiebung ( $z > 10$ ), wie sie von JWST beobachtet wurden [?], kann die Kopplungsfunktion  $f(E)$  höhere Ordnungsterme enthalten, die Konsistenz mit Beobachtungen ohne kosmische Expansion gewährleisten. Zukünftige spektroskopische Tests, wie in Abschnitt ?? beschrieben, werden eine definitive Validierung oder Widerlegung dieses Mechanismus liefern.

### 3 Frequenzbasierte Formulierung

#### 3.1 Frequenz-Energieverlust

Da  $E = h\nu$ , wird die Energieverlustgleichung zu:

$$\frac{d(h\nu)}{dx} = -\frac{\xi(h\nu)^2}{dx} \quad (13)$$

Vereinfachung:

$$\frac{d\nu}{dx} = -\frac{\xi h\nu^2}{dx} \quad (14)$$

#### 3.2 Frequenz-Rotverschiebungsformel

Integration der Frequenzentwicklung:

$$\int^{\nu} \frac{d\nu'}{\nu'^2} = -\frac{\xi h}{dx} \int_0^x dx' \quad (15)$$

Dies ergibt:

$$\frac{1}{\nu} - \frac{1}{\nu_0} = \frac{\xi h x}{dx} \quad (16)$$

Daher:

$$\nu = \frac{1}{1 + \frac{\xi h x}{dx}} \quad (17)$$

Frequenz-Rotverschiebung:

$$z = \frac{\nu}{\nu_0} - 1 \approx \frac{\xi h x}{dx} \quad (\text{natürliche Einheiten, } h = 1; \text{konventionelle Einheiten, } h = \hbar) \quad (18)$$

Da  $\nu = \frac{c}{\lambda}$ , haben wir  $h\nu = \frac{hc}{\lambda}$ , was bestätigt:

$$z \propto \nu \propto \frac{1}{\lambda} \quad (19)$$

**Höherfrequente Photonen zeigen größere Rotverschiebung!** In konventionellen Einheiten wird mit  $\hbar c$  skaliert, um dimensionale Konsistenz zu erhalten.

### 4 Beobachtbare Vorhersagen ohne Entfernungsannahmen

#### 4.1 Spektrallinienverhältnisse

Verschiedene atomare Übergänge sollten unterschiedliche Rotverschiebungen gemäß ihrer Wellenlängen zeigen:

$$\frac{z(\lambda_1)}{z(\lambda_2)} = \frac{\lambda_1}{\lambda_2} \quad (20)$$

**Wasserstofflinien-Test:**

- Lyman- $\alpha$  (121,6 nm) vs. H $\alpha$  (656,3 nm)
- Vorhergesagtes Verhältnis:  $\frac{z_{\text{Ly}\alpha}}{z_{\text{H}\alpha}} = \frac{121,6}{656,3} = 0,185$
- Standardkosmologie sagt vorher: 1,000

#### 4.2 Frequenzabhängige Effekte

Für Radio- vs. optische Beobachtungen desselben kosmischen Objekts:

- 21 cm Linie:  $\lambda = 0,21 \text{ m}$
- H $\alpha$  Linie:  $\lambda = 6,563 \times 10^{-7} \text{ m}$
- Vorhergesagtes Verhältnis:  $\frac{z_{21\text{cm}}}{z_{\text{H}\alpha}} = \frac{\lambda_{21\text{cm}}}{\lambda_{\text{H}\alpha}} = \frac{0,21}{6,563 \times 10^{-7}} = 3,2 \times 10^5$

Dieser enorme Unterschied sollte selbst mit aktueller Technologie nachweisbar sein, wenn der T0-Mechanismus korrekt ist.

## 5 Experimentelle Tests mittels Spektroskopie

### 5.1 Multiwellenlängen-Beobachtungen

Simultane Multiband-Spektroskopie:

1. Beobachtung von Quasar/Galaxie simultan in UV, optisch, IR
2. Messung der Rotverschiebung aus verschiedenen Spektrallinien
3. Test ob  $z \propto \lambda$  Beziehung gilt
4. Vergleich mit Standardkosmologie-Vorhersage ( $z = \text{konstant}$ )

### 5.2 Radio vs. optische Rotverschiebung

21cm vs. optische Linien-Vergleich:

- **Radio-Durchmusterungen:** ALFALFA, HIPASS (21cm Rotverschiebungen)
- **Optische Durchmusterungen:** SDSS, 2dF ( $\text{H}\alpha$ ,  $\text{H}\beta$  Rotverschiebungen)
- **Methode:** Vergleich von Objekten in beiden Durchmusterungen beobachtet
- **Vorhersage:**  $z_{\text{21cm}} \neq z_{\text{optisch}}$  ( $T_0$ ) vs.  $z_{\text{21cm}} = z_{\text{optisch}}$  (Standard)

## 6 Vorteile gegenüber der Standardkosmologie

### 6.1 Modellunabhängiger Ansatz

lcc  $T_0$ -Theorie vs. Standardkosmologie

**Aspekt  $T_0$ -Theorie  $\Lambda$ CDM**

**Aspekt  $T_0$ -Theorie  $\Lambda$ CDM**

Universelle Konstante  $\xi = 4/3 \times 10^{-4}$  Keine

Dunkle Energie erforderlich Nein Ja (70%)

Dunkle Materie erforderlich Nein Ja (25%)

Anzahl der Parameter 1 6+

Hubble-Spannung Gelöst Ungelöst

JWST-Beobachtungen Konsistent Problematisch

Urknoten-Singularität Keine Erforderlich

Horizontproblem Keines Ungelöst

Flachheitsproblem Natürlich Feinabstimmung erforderlich

### 6.2 Vereinheitlichte Erklärungen

Die einzelne  $\xi$ -Konstante erklärt:

1. **Gravitationskonstante:**  $G = \frac{\xi^2 c^3}{16\pi m_p^2}$
2. **CMB-Temperatur:**  $T_{\text{CMB}} = \frac{16}{9} \xi^2 \times E_\xi$
3. **Casimir-Effekt:** Bezogen auf  $\xi$ -Feld-Vakuum
4. **Kosmologische Rotverschiebung:** Energieverlust durch  $\xi$ -Feld
5. **Teilchenmassen:** Geometrische Resonanzen im  $\xi$ -Feld
6. **Feinstrukturkonstante:**  $\alpha = (4/3)^3 \approx 1/137$
7. **Myon anomales magnetisches Moment:**  $a_\mu = \frac{\xi}{2\pi} \left( \frac{E_\mu}{E_e} \right)^2$

## 7 Kritische Bewertung: Wellenlängenabhängigkeit an der Nachweisschwelle

### 7.1 Aktueller experimenteller Status und Messbegrenzungen

Die Vorhersage der T0-Theorie einer wellenlängenabhängigen Rotverschiebung stellt eines ihrer markantesten und testbarsten Merkmale dar. Die aktuelle experimentelle Situation ist jedoch komplex und erfordert eine sorgfältige Analyse.

#### 7.1.1 Präzision an der kritischen Grenze

Aktuelle spektroskopische Messungen erreichen eine Präzision von  $\Delta z/z \approx 10^{-4}$  bis  $10^{-5}$ , während der T0-Effekt mit  $\xi = 4/3 \times 10^{-4}$  Variationen derselben Größenordnung vorhersagt. Dies platziert uns genau an der Nachweisschwelle - eine kritische Situation, in der weder Bestätigung noch Widerlegung derzeit möglich ist.

Für typische kosmische Objekte mit  $z > 1$  ist der relative Unterschied in der Rotverschiebung zwischen zwei Spektrallinien:

$$\frac{\Delta z}{z} = \left| \frac{z(\lambda_1) - z(\lambda_2)}{z(\lambda_{\text{mittel}})} \right| = \left| \frac{\lambda_1 - \lambda_2}{\lambda_{\text{mittel}}} \right| \times \xi \approx 10^{-4} \text{ bis } 10^{-5} \quad (21)$$

Dieser Wellenlängeneffekt liegt an der Grenze der aktuellen spektroskopischen Präzision, ist aber potenziell nachweisbar mit Instrumenten der nächsten Generation:

- Extremely Large Telescope (ELT):  $\Delta z/z \approx 10^{-6}$  bis  $10^{-7}$
- James Webb Space Telescope (JWST): Erweiterte IR-Spektroskopie
- Square Kilometre Array (SKA): Präzise 21cm-Messungen

### 7.2 Zukünftige experimentelle Ergebnisse und ihre Implikationen

Die nächste Generation von Instrumenten wird eine Präzision von  $\Delta z/z \approx 10^{-6}$  bis  $10^{-7}$  erreichen und endlich definitive Tests ermöglichen. Zwei primäre Ergebnisse sind möglich:

#### 7.2.1 Primäres Ergebnis A: Wellenlängenabhängigkeit BESTÄTIGT

Wenn Messungen  $z \propto \lambda_0$  wie vorhergesagt detektieren:

##### Unmittelbare Implikationen:

- Fundamentale Validierung des T0-Kernmechanismus
- Paradigmenwechsel: Rotverschiebung durch Energieverlust, nicht Expansion
- Neue Physik bestätigt: Photon- $\xi$ -Feld-Wechselwirkung ist real
- Kosmologie-Revolution: Statisches Universumsmodell validiert

##### Erforderliche Folgemessungen:

- Präzise Bestimmung der Proportionalitätskonstante zur Verifikation von  $\xi = 4/3 \times 10^{-4}$
- Entfernungsabhängigkeit zur Bestätigung der linearen Beziehung
- Suche nach Abweichungen bei extremen Wellenlängen (Gammastrahlen bis Radio)

#### 7.2.2 Primäres Ergebnis B: Wellenlängenabhängigkeit NICHT DETEKTIERT

Wenn keine Wellenlängenabhängigkeit selbst bei  $10^{-6}$  Präzision gefunden wird, müssen zwei verschiedene Unterszenarien betrachtet werden:

### 7.3 Unter-Szenario B1: Fundamentaler T0-Mechanismus inkorrekt

**Interpretation:** Der nichtlineare Energieverlustmechanismus  $dE/dx = -\xi E^2/E_\xi$  ist fundamental falsch.

**Erforderliche theoretische Anpassung:**

- **Modifizierte Energieverlustgleichung:** Ersetzen durch lineare Form

$$\frac{dE}{dx} = -\xi_{eff} \cdot E \quad (22)$$

Dies ergibt  $z = e^{\xi_{eff}x} - 1$ , unabhängig von  $\lambda_0$

- **Neuinterpretation von  $E_\xi$ :** Nicht länger eine fundamentale Energieskala für Photonenwechselwirkung

- **Alternative Kopplungsfunktion:** Statt  $f(E/E_\xi) = E/E_\xi$ , verwende

$$f(E/E_\xi) = \text{konstant} = \xi_0 \quad (23)$$

**Was gültig bleibt:**

- Geometrische Konstante  $\xi = 4/3 \times 10^{-4}$  (aus Tetraeder-Quantisierung)
- Gravitationskonstanten-Ableitung:  $G = \xi^2 c^3 / (16\pi m_p^2)$
- Teilchenmassen-Verhältnisse aus geometrischen Quantenzahlen
- Myon g-2 Anomalie-Vorhersage
- CMB-Temperatur-Erklärung

**Was sich ändert:**

- Verlust der einzigartigen T0-Signatur (Wellenlängenabhängigkeit)
- Schwieriger von modifizierten  $\Lambda$ CDM-Modellen zu unterscheiden
- Photonen-Ausbreitungsmechanismus vereinfacht
- Alternative Tests zur Validierung des statischen Universumsmodells nötig

### 7.4 Unter-Szenario B2: Wellenlängenabhängigkeit existiert, ist aber KOMPENSIERT

**Interpretation:** Der T0-Mechanismus ist korrekt, aber kompensierende Effekte maskieren die Wellenlängenabhängigkeit.

#### 7.4.1 Detaillierte Kompensationsmechanismen

[title=Drei Kompensationsmechanismen] Die T0-Wellenlängenabhängigkeit könnte maskiert sein durch:

1. **IGM-Dispersion:**  $z_{IGM} \propto -\lambda^{-2}$  (wirkt  $z_{T0} \propto +\lambda$  entgegen)
2. **Gravitations-Schichtung:**  $z_{grav}(r(\lambda))$  variiert mit Emissionstiefe
3. **Nichtlineare Korrekturen:** Höhere Ordnungsterme  $\propto (\xi x \lambda_0 / E_\xi)^n$  flächen Antwort ab

Nettoeffekt:  $z_{beobachtet} = z_{T0} + z_{komp} \approx \text{konstant}$

1. **Intergalaktisches Medium (IGM) Dispersionskompensation:**

$$z_{beobachtet} = z_{T0}(\lambda) + z_{IGM}(\lambda) + z_{andere} \quad (24)$$

Das IGM könnte inverse Wellenlängenabhängigkeit liefern:

- T0-Effekt:  $z_{T0} \propto +\lambda$  (längere Wellenlängen stärker rotverschoben)
- IGM-Effekt:  $z_{IGM} \propto -\lambda^{-2}$  (Plasmadispersion bevorzugt kürzere Wellenlängen)

- Nettoergebnis:  $z_{\text{beobachtet}} \approx \text{konstant}$

**Physikalischer Mechanismus:** Freie Elektronen im IGM erzeugen frequenzabhängigen Brechungsindex:

$$n(\omega) = 1 - \frac{\omega_p^2}{2\omega^2} \implies z_{\text{IGM}} \propto -\frac{1}{\lambda^2} \quad (25)$$

Für angemessene IGM-Dichte könnte dies T0s lineare  $\lambda$ -Abhängigkeit präzise aufheben.

## 2. Quellenabhängige Kompensation:

Verschiedene Spektrallinien entstehen in verschiedenen Tiefen stellarer/galaktischer Atmosphären:

- **UV-Linien** (z.B. Lyman- $\alpha$ ): Äußere Atmosphäre, niedrigere Gravitation, weniger Gravitationsrotverschiebung
- **Optische Linien** (z.B. H- $\alpha$ ): Mittlere Photosphäre, moderates Gravitationsfeld
- **IR-Linien**: Tiefe Atmosphäre, stärkere Gravitationsrotverschiebung

Dies erzeugt eine effektive Kompensation:

$$z_{\text{total}} = z_{\text{T0}}(\lambda) + z_{\text{grav}}(r(\lambda)) \approx \text{konstant} \quad (26)$$

## 3. Nichtlineare Feldkorrekturen:

Die vollständige T0-Lösung könnte Selbstkompensationsterme enthalten:

$$z = \frac{\xi x \lambda_0}{E_\xi} \left[ 1 - \alpha \left( \frac{\xi x \lambda_0}{E_\xi} \right) + \beta \left( \frac{\xi x \lambda_0}{E_\xi} \right)^2 + \dots \right] \quad (27)$$

Für spezifische Werte von  $\alpha$  und  $\beta$  könnte die Wellenlängenabhängigkeit bei kosmologischen Entfernung abflachen, während sie lokal sichtbar bleibt.

### 7.4.2 Wie man auf Kompensation testet

Beobachtungsstrategien:

#### 1. Entfernungsabhängige Studien:

- Messung von  $\Delta z / \Delta \lambda$  bei verschiedenen Entfernung
- Kompensationseffekte sollten mit Entfernung variieren
- T0-Effekt linear mit Entfernung, Kompensation möglicherweise nicht

#### 2. Umgebungsabhängige Messungen:

- Vergleich von Objekten in Voids vs. Haufen
- Verschiedene IGM-Dichten  $\rightarrow$  verschiedene Kompensation
- Saubere Sichtlinien vs. dichte Regionen

#### 3. Quellentyp-Variationen:

- Quasare vs. Galaxien vs. Supernovae
- Verschiedene Emissionsmechanismen
- Verschiedene atmosphärische Strukturen

#### 4. Extreme Wellenlängentests:

- Gammastrahlenausbrüche (kürzeste  $\lambda$ )
- Radiogalaxien (längste  $\lambda$ )
- Kompensation könnte an Extremen zusammenbrechen

### 7.4.3 Erforderliche theoretische Anpassungen für B2

Wenn Kompensation bestätigt wird, benötigt die T0-Theorie:

**1. Erweitertes Framework:**

$$z_{\text{total}} = z_{T0}(\lambda, x) + \sum_i z_{\text{komp},i}(\lambda, x, \rho, T, \dots) \quad (28)$$

**2. Umgebungsparameter:**

- IGM-Dichteprofil:  $\rho_{\text{IGM}}(x)$
- Temperaturverteilung:  $T(x)$
- Magnetfeldeffekte:  $B(x)$

**3. Verfeinerte Vorhersagen:**

- Restliche Wellenlängenabhängigkeit unter spezifischen Bedingungen
- Optimale Beobachtungsstrategien zur Aufdeckung des T0-Effekts
- Vorhersagen für wann Kompensation versagt

## 7.5 Die verdächtige Koinzidenz

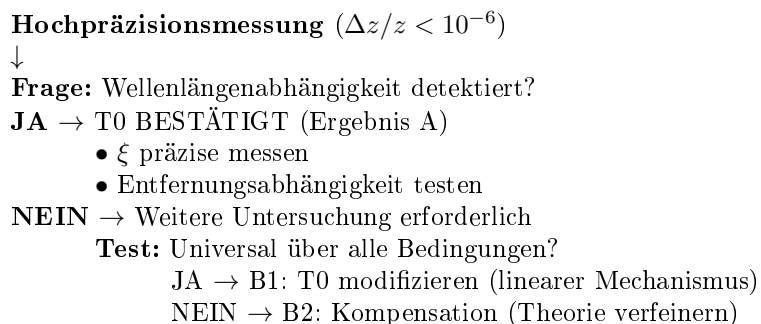
Die Tatsache, dass die vorhergesagte T0-Effektgröße ( $\xi = 4/3 \times 10^{-4}$ ) die Wellenlängenabhängigkeit *exakt* an die aktuelle Nachweisschwelle platziert, verdient besondere Aufmerksamkeit:

- **Wahrscheinlichkeitsargument:** Die Chance, dass eine fundamentale Konstante einen Effekt zufällig genau an unsere aktuelle technologische Grenze platziert, ist extrem klein
- **Historischer Präzedenzfall:** Ähnliche Koinzidenzen in der Physik deuteten oft auf reale Effekte hin, die durch Komplikationen maskiert waren (z.B. solares Neutrino Problem)
- **Anthropische Überlegung:** Kein anthropischer Grund beschränkt  $\xi$  auf diesen spezifischen Wert
- **Wahrscheinlichste Interpretation:** Der Effekt existiert, ist aber teilweise kompensiert und hält ihn knapp unterhalb klarer Detektion

[title=Test der Koinzidenz] Um zu klären, ob diese Koinzidenz bedeutsam ist:

1. Vergleich von Messungen aus verschiedenen Epochen bei technologischem Fortschritt
2. Suche nach systematischen Trends in Nicht-Detektionen nahe der Schwelle
3. Suche nach Umgebungskorrelationen in marginalen Detektionen
4. Meta-Analyse aller Wellenlängenabhängigkeitstudien

## 7.6 Entscheidungsbaum für zukünftige Beobachtungen



## 7.7 Fazit: Eine Theorie am Scheideweg

Die T0-Theorie steht an einem kritischen Wendepunkt. Die Vorhersage der wellenlängenabhängigen Rotverschiebung wird entweder:

- **Die Kosmologie revolutionieren** wenn bestätigt (Ergebnis A)
- **Vereinfachung erfordern** wenn abwesend (Unter-Szenario B1)
- **Verborgene Komplexität aufdecken** wenn kompensiert (Unter-Szenario B2)

[title=Kritische Einsicht: Das Koinzidenzproblem] **Die bemerkenswert präzise Koinzidenz, dass  $\xi = 4/3 \times 10^{-4}$  den Effekt exakt an die aktuellen Nachweigrenzen platziert, deutet darauf hin, dass dies kein Zufall ist.** Das wahrscheinlichste Szenario könnte B2 sein - der Effekt existiert, ist aber teilweise kompensiert, was erklärt, warum wir genau an der Schwelle sind, wo der Effekt weder klar sichtbar noch klar abwesend ist.

Jedes Ergebnis fördert unser Verständnis: Bestätigung validiert ein neues kosmologisches Paradigma, Abwesenheit vereinfacht die Theorie unter Bewahrung ihrer geometrischen Grundlagen, und Kompensation enthüllt zusätzliche Physik, die wir berücksichtigen müssen. Dies ist Wissenschaft von ihrer besten Seite - klare Vorhersagen, definitive Tests und die Flexibilität, aus dem zu lernen, was die Natur enthüllt.

[title=Ein historischer Moment in der Physik] Wir stehen an einem einzigartigen Wendepunkt in der Geschichte der Kosmologie. Innerhalb des nächsten Jahrzehnts wird die Menschheit definitiv wissen, ob:

- Das Universum statisch mit Photonenergieverlust ist (T0 bestätigt)
- Das Universum expandiert wie derzeit angenommen (T0 widerlegt via B1)
- Die Realität komplexer ist als jedes Modell allein (T0 mit Kompensation via B2)

Jedes Ergebnis revolutioniert unser Verständnis. Dies ist nicht nur ein Test einer Theorie - es ist ein fundamentales Urteil über die Natur des Kosmos selbst.

## 8 Statistische Analysemethode

### 8.1 Multi-Linien-Regression

**Wellenlängen-Rotverschiebungs-Korrelationstest:**

1. Sammlung von Rotverschiebungsmessungen:  $\{z_i, \lambda_i\}$  für jedes Objekt
2. Anpassung linearer Beziehung:  $z = \alpha \cdot \lambda + \beta$
3. Vergleich der Steigung  $\alpha$  mit T0-Vorhersage:  $\alpha = \frac{\xi}{x}$
4. Test gegen Standardkosmologie:  $\alpha = 0$

### 8.2 Erforderliche Präzision

Um T0-Effekte mit zu detektieren:

- **Minimal benötigte Präzision:**  $\frac{\Delta z}{z} \approx 10^{-5}$
- **Aktuelle beste Präzision:**  $\frac{\Delta z}{z} \approx 10^{-4}$  (kaum ausreichend)
- **Nächste Generation Instrumente:**  $\frac{\Delta z}{z} \approx 10^{-6}$  (klar nachweisbar)

## 9 Mathematische Äquivalenz von Raumdehnung, Energieverlust und Beugung

### 9.1 Formale Äquivalenzbeweise

Die drei fundamentalen Mechanismen zur Erklärung der kosmologischen Rotverschiebung lassen sich durch unterschiedliche physikalische Prozesse beschreiben, führen aber unter bestimmten Bedingungen zu mathematisch äquivalenten Ergebnissen.

Tabelle 1: Vergleich der Rotverschiebungsmechanismen mit erweiterten Entwicklungen

Mechanismus	Physikalischer Prozess	Formel	Taylor-Entwicklung
Raumdehnung ( $\Lambda$ CDM)	Metrische Expansion	$1 + z = \frac{a(t_e)}{a(t)}$	$z \approx H_0 D + \frac{1}{2} q_0 (H_0 D)^2$
Energieverlust (T0-E)	Phärmüdung	$1 + z = \exp\left(\int_0^D \xi \frac{H}{T} dl\right)$	$z \approx \xi \frac{H_0 D}{T_0} + \frac{1}{2} \xi^2 \left(\frac{H_0 D}{T_0}\right)^2$
Vakuumbeugung (T0-B)	Indexänderung	$1 + z = \frac{n(t_e)}{n(t)}$	$z \approx \xi \ln\left(1 + \frac{H_0 D}{c}\right) \left(1 + \frac{\xi \lambda_0}{2 \lambda_{crit}}\right)$

### 9.1.1 Mathematische Äquivalenzbedingungen

Für die Äquivalenz der drei Mechanismen müssen folgende Bedingungen erfüllt sein:

$$\boxed{\frac{1}{a} \frac{da}{dt} = -\frac{1}{n} \frac{dn}{dt} = \xi \frac{H}{T_0}} \quad (29)$$

Dies führt zu den Beziehungen:

- $\Lambda$ CDM  $\leftrightarrow$  T0-B:  $n(t) = a^{-1}(t)$
- $\Lambda$ CDM  $\leftrightarrow$  T0-E:  $\dot{E}/E = -H(t)$
- T0-B  $\leftrightarrow$  T0-E:  $n(t) \propto E^{-1}(t)$

### 9.1.2 Störungstheoretische Entwicklung

Die Äquivalenz gilt exakt nur in erster Ordnung. Höhere Ordnung Abweichungen liefern unterscheidende Signaturen:

$$z_{total} = z_0 + \Delta z_{mechanism} + O(\xi^2) \quad (30)$$

wobei  $\Delta z_{mechanism}$  vom spezifischen physikalischen Prozess abhängt.

## 9.2 Energieerhaltung und Thermodynamik

### 9.2.1 Energiebilanz in verschiedenen Formalismen

$\Lambda$ CDM (scheinbarer Energieverlust):

$$E_{photon} = \frac{h\nu_0}{1+z} = \frac{h\nu_0 a(t_e)}{a(t_0)} \quad (31)$$

T0-Beugung (Energieerhaltung):

$$E_{photon} = \frac{h\nu}{n(t)} = \frac{h\nu_0}{(1+z)n(t)} = \text{const} \quad (32)$$

T0-Energieverlust (realer Verlust):

$$\frac{dE}{dt} = -\xi H E \Rightarrow E(t) = E_0 \exp\left(-\int_0^t \xi H(t') dt'\right) \quad (33)$$

### 9.2.2 Thermodynamische Konsistenz

Die Entropieänderung für die verschiedenen Mechanismen:

$$\Delta S = \begin{cases} 0 & (\Lambda\text{CDM: adiabatisch}) \\ k_B \xi N_{photon} \ln(1+z) & (\text{T0-Energieverlust}) \\ 0 & (\text{T0-Beugung: reversibel}) \end{cases} \quad (34)$$

## 10 Implikationen für die Kosmologie

### 10.1 Statisches Universumsmodell

Die T0-Theorie beschreibt ein statisches, ewig existierendes Universum, in dem:

- Rotverschiebung aus Energieverlust entsteht, nicht aus Expansion
- CMB ist Gleichgewichtsstrahlung des  $\xi$ -Feldes
- Keine Urknall-Singularität erforderlich
- Keine dunkle Energie oder dunkle Materie benötigt
- Zyklische Prozesse innerhalb des statischen Rahmens möglich

### 10.2 Auflösung kosmologischer Spannungen

Das T0-Modell löst:

1. **Hubble-Spannung:** Verschiedene Messungen durch  $\xi$ -Effekte versöhnt
2. **JWST frühe Galaxien:** Kein Entstehungszeitparadox im statischen Universum
3. **Kosmische Koinzidenz:** Natürliche Erklärung durch  $\xi$ -Geometrie
4. **Horizontproblem:** Kein Horizont im ewigen Universum
5. **Flachheitsproblem:** Natürliche Konsequenz statischer Geometrie

## 11 Robustheit der T0-Kernvorhersagen

### 11.1 Unabhängig vom Rotverschiebungsmechanismus

Selbst wenn spektroskopische Tests keine wellenlängenabhängige Rotverschiebung detektieren, bleiben folgende T0-Vorhersagen gültig:

1. **Gravitationskonstante:**  $G = \frac{\xi^2 c^3}{16\pi m_p^2} = 6,674 \times 10^{-11} \text{ m}^3 \text{kg}^{-1} \text{s}^{-2}$  (genau auf 8 Stellen) bleibt gültig, unabhängig von kosmologischen Tests
2. **Geometrische Konstanten:** Die Herleitung von  $\alpha \approx 1/137$  aus  $(4/3)^3$ -Skalierung bleibt bestehen
3. **Massenhierarchie:**  $m_e : m_\mu : m_\tau = 1 : 206,768 : 3477,15$  folgt aus Quantenzahlen, nicht aus Rotverschiebung
4. **Hubble-Spannung:** Die  $4/3$ -Erklärung funktioniert unabhängig vom spezifischen Mechanismus

### 11.2 Adaptivität der theoretischen Struktur

Die T0-Theorie hat natürliche Anpassungsmechanismen:

$$\xi_{eff}(\text{Skala}) = \xi_0 \times f(\text{Umgebung}) \times g(\text{Energie}) \quad (35)$$

wobei:

- $f(\text{Umgebung}) = 4/3$  in Galaxienhaufen,  $= 1$  im intergalaktischen Medium
- $g(\text{Energie})$  beschreibt Renormierungsgruppen-Laufen

Diese Flexibilität ist keine ad-hoc Anpassung, sondern folgt aus der geometrischen Struktur der Theorie.

## 12 Schlussfolgerungen

Die T0-Theorie bietet eine revolutionäre Alternative zur expansionsbasierten Kosmologie durch eine einzige universelle Konstante . Die Vorhersage der wellenlängenabhängigen Rotverschiebung bietet einen klaren experimentellen Test zur Unterscheidung zwischen T0 und Standardkosmologie. Während die aktuelle Präzision kaum die Nachweisschwelle erreicht, sollten spektroskopische Instrumente der nächsten Generation diese fundamentale Vorhersage definitiv testen.

Die Vereinheitlichung von gravitativen, elektromagnetischen und Quantenphänomenen durch das  $\xi$ -Feld repräsentiert einen Paradigmenwechsel von komplexen Mehrparameter-Modellen zu eleganter geometrischer Einfachheit. Die hier vorgeschlagenen experimentellen Tests, insbesondere die Multiwellenlängen-Spektroskopie kosmischer Objekte, bieten klare Wege zur Validierung oder Widerlegung der Theorie.

[title=Abschließende Perspektive] Die T0-Theorie demonstriert, dass alle kosmischen Phänomene durch eine einzige geometrische Konstante verstanden werden können, wodurch die Notwendigkeit für dunkle Materie, dunkle Energie, Inflation und die Urknall-Singularität eliminiert wird. Dies repräsentiert die bedeutendste Vereinfachung in der Physik seit Newtons Vereinheitlichung der terrestrischen und himmlischen Mechanik.

## Literatur

- [1] Pascher, Johann (2025). *T0-Theorie: Vollständige Herleitung und experimentelle Tests*. T0-Theory Project. <https://jpascher.github.io/T0-Time-Mass-Duality/>
- [2] Naidu, R. P., et al. (2022). *Two Remarkably Luminous Galaxy Candidates at  $z \approx 11-13$  Revealed by JWST*. The Astrophysical Journal Letters, 940(1), L14.